УДК 543.422

# Анализ интенсивности линий инфракрасного спектра <sup>12</sup>CD4 в области пентады Гуань Синьжань

Научный руководитель: профессор, д.ф-м.н, О.В. Громова Национальный исследовательский Томский политехнический университет, Россия, г. Томск, пр. Ленина, 30, 634050 E-mail: 2498767673@qq.com

# Line strength analysis of the <sup>12</sup>CD<sub>4</sub> infrared spectra in the pentad region

Guan Xinran

Scientific Supervisor: Prof., Dr. O.V. Gromova Tomsk Polytechnic University, Russia, Tomsk, Lenin str., 30, 634050 E-mail: 2498767673@qq.com

**Abstract.** High accurate ro-vibrational spectra of  $^{12}\text{CD}_4$  were measured in the pentad region with a Bruker IFS125 HR Fourier transform infrared (IR) spectrometer at an optical resolution of 0.003 cm $^{-1}$  and different pressures and optical path-lengths. The analysis of 1264 experimental absolute transition strengths belonging to all nine ro-vibrational sub-bands of the  $^{12}\text{CD}_4$  pentad was performed using the Voigt profile to simulate the measured line shape and to determine experimental line intensities. A set of 10 parameters was obtained from the weighted fit analysis of experimental data in the frame of the model of an effective dipole moment operator of the  $^{12}\text{CD}_4$  pentad. The obtained set of 10 effective dipole moment parameters reproduces the initial 1264 absolute transition strengths with the  $d_{rms} = 4.52 \%$ .

**Key words:** Tetradeuteromethane, infrared spectroscopy, high accurate ro-vibrational spectroscopy, absolute transition strengths

#### Введение

В химической физике метан можно рассматривать как прототип углеводорода, имеющий фундаментальное значение, начиная от теории химической связи, вращательной динамики в симметричных молекулах, нашего понимания структуры потенциальных гиперповерхностей, теории скорости унимолекулярных реакций, фундаментальной динамики бимолекулярных реакций. В последних случаях очень важно знание спектроскопических свойств не только основной модификации  $CH_4$ , но и всех изотопных видов метана. В настоящей работе проводится анализ интенсивностей линий девяти подполос  $v_3(F_2)$ ,  $2v_4(F_2)$ ,  $v_2+v_4(F_2)$ ,  $v_2+v_4(F_1)$ ,  $2v_4(E)$ ,  $2v_2(E)$ ,  $v_1(A_1)$ ,  $2v_4(A_1)$ , и  $2v_2(A_1)$  молекулы  $^{12}CD_4$ .

Молекула СD<sub>4</sub> представляет собой молекулу типа сферического волчка, симметрия которой изоморфна точечной группе симметрии  $T_d$ . Как следствие, ее девять колебательных координат обладают следующей симметрией:  $q_1 \in (A_1)$  — невырожденная,  $q_2 \in (E)$  — дважды вырожденная,  $q_3 \in (F_2)$  и  $q_4 \in (F_2)$  — трижды вырожденная. Известно (см., например, [1, 2]), что вращательно-колебательные состояния таких молекул разбиваются на группы (полиады) более или менее изолированных состояний, которые взаимодействуют друг с другом внутри полиады. При этом отдельная полиада характеризуется полиадным числом  $N = \omega_1 \simeq \omega_3 \simeq 2\omega_2 \simeq 2\omega_4$ , а все колебательные состояния ( $v_1v_2v_3v_4$ ,  $\Gamma$ ) (здесь  $\Gamma$  — симметрия колебательной функции), удовлетворяющие этому условию, объединяются в полиаду с близкими друг к другу колебательными энергиями.

## Экспериментальная часть

Семь спектров чистого  $CD_4$  были измерены с оптическим разрешением  $0,003~\rm cm^{-1}$  в диапазоне волн от  $500~\rm до~5000~\rm cm^{-1}$  с помощью ИК-спектрометра с Фурье-преобразованием Bruker IFS125HR (прототип ZP2001) [3]. Три спектра I, II и IV были использованы в нижнем

спектральном диапазоне 500—1800 см $^{-1}$ , содержащем фундаментальные полосы  $v_2$  и  $v_4$  и информацию о «горячих переходах» и «горячих полосах», которые вносят вклад в обертонные и комбинационные полосы, которые играют важную роль для анализа данной работы. Однако в центре внимания оказалась спектральная область 1800-2400 см $^{-1}$ . Обзор трех (спектры III, VI и VII) из семи спектров  $^{12}$ CD<sub>4</sub>, записанных в области 1800-2400 см $^{-1}$ , показан на верхней части рис. 1. Ветви P, Q и R полос  $v_3$ ,  $v_2+v_4$  и  $2v_4$  хорошо видны в спектрах VI и VII. Идентичность молекулы, а также химическая и изотопная чистота видна из спектров.

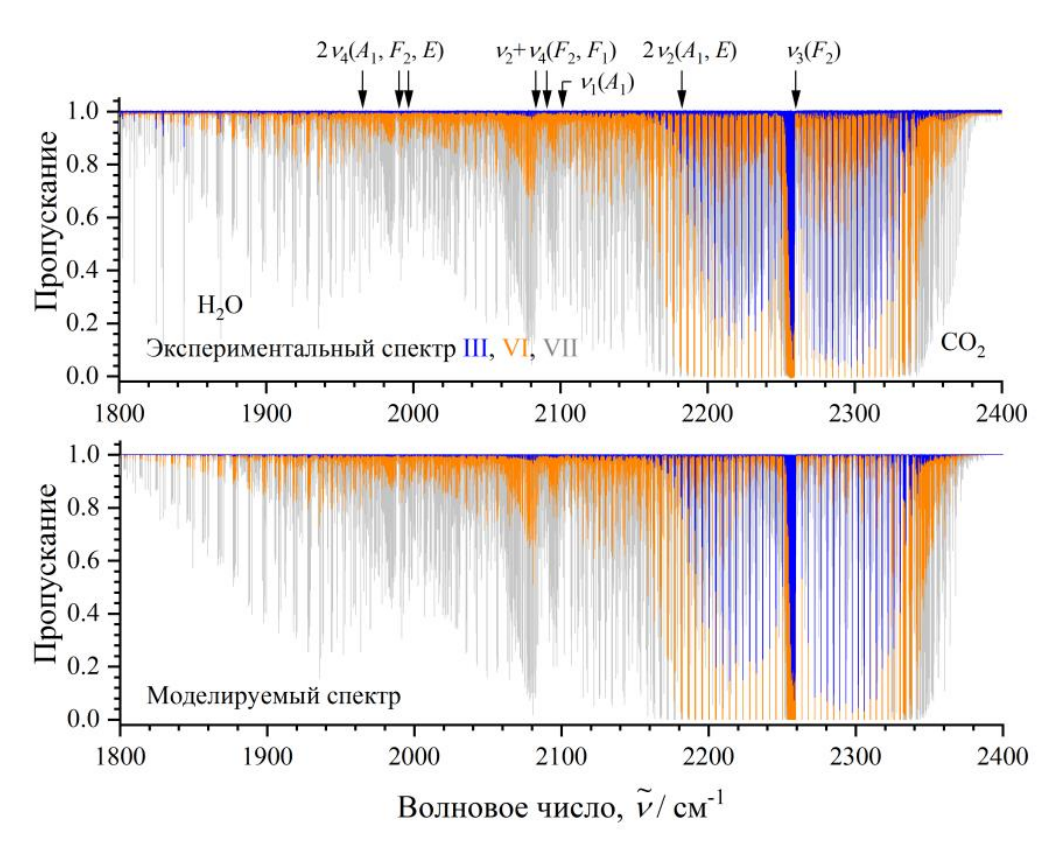


Рис. 1. Верхняя часть: Обзорные спектры III (синий), VI (оранжевый) и VII (серый)  $^{12}CD_4$  в области пентадных полос; Нижняя часть показывает смоделированные спектры  $^{12}CD_4$ 

Доплеровское уширение для  $^{12}$ CD<sub>4</sub> при температуре около 294 K находится в диапазоне от 0,005 до 0,0066 см<sup>-1</sup> для области между 1800 и 2400 см<sup>-1</sup>; полная ширина линии при давлении 352 Па составляет 0,00080 см<sup>-1</sup> для спектра с самым высоким давлением, что практически незначительно; а инструментальная ширина линии составляет 0,0020 см<sup>-1</sup>, являясь произведением номинального инструментального разрешения 0,003 см<sup>-1</sup> и коэффициента аподизации Бокскар 0,68. Таким образом, общая ширина линии в анализируемой области для семи зарегистрированных спектров находится в диапазоне от 0,00536 до 0,00696 см<sup>-1</sup> (что может быть аппроксимировано корнем квадратным из свертки доплеровской ширины, уширение линии давлением и инструментальной ширины линии). Калибровка положений спектральных линий проводилась по линиям  $CO_2$  и  $H_2O$  [3–5].

Давление измерялось с помощью манометров с емкостным датчиком Pfeiffer CMR, изготовленных по керамической технологии, с диапазоном давления до 100 и 1000 гПа. Они имеют температурную компенсацию, заводскую калибровку, устойчивы к агрессивным газовым средам и не зависят от вида газа.

Используя закон Беера-Ламберта, сила линии S может быть выведена из площади одной линии поглощения  $A_{Line}$ , постоянной Больцмана  $k_B$ , (парциального) давления P газа  $^{12}\mathrm{CD_4}$ , температуры T в (K) и оптической длины пути L (M):

$$S = \frac{k_B T}{PL} A_{Line} \tag{1}$$

где (с применением декадного логарифма lg = log10), e-естественная константа (около 2,71828),  $I_0(\nu)$  – интенсивность полосы  $\nu$ ,  $I(\nu)$  – интенсивность полосы  $\nu$  после поглощения,  $d\nu$  – интегральный микроэлемент частоты  $\nu$ .

$$A_{Line} = \frac{1}{\lg(e)} \int \lg\left(\frac{I_0(\nu)}{I(\nu)}\right) d\nu \tag{2}$$

Интенсивности линий были получены прямым интегрированием измеренных эффективных линий поглощений, которые хорошо согласуются с профилем Фойгта.

#### Результаты

Были получены 1264 индивидуальных абсолютных интенсивности линий, относящихся ко всем девяти колебательно-вращательным подполосам пентады <sup>12</sup>CD<sub>4</sub>.

#### Заключение

Был проведен анализ абсолютных интенсивностей переходов в ИК-Фурье-спектре высокого разрешения  $^{12}\text{CD}_4$ , которые были зарегистрированы на спектрометре с Фурье-преобразованием Bruker IFS 125HR в области пентады. 1264 индивидуальных абсолютных интенсивности линий, относящихся ко всем девяти колебательно-вращательным подполосам пентады  $^{12}\text{CD}_4$  с использованием профиля Фойгта для моделирования формы измеренных линий. Из взвешенного анализа экспериментальных данных в рамках модели оператора эффективного дипольного момента был получен набор из 10 параметров. Полученный набор из 10 параметров эффективного дипольного момента воспроизводит исходные 1264 абсолютные интенсивности линий с  $d_{rms}$  = 4,52 %.

### Список публикаций

- 1. Ulenikov O.N., Gromova O.V., Bekhtereva E.S., Raspopova N.I., Sennikov P.G., Koshelev M.A., Velmuzhova I.A., Velmuzhov A.P., Bulanov A.D. High resolution study of  ${}^{M}$ GeH<sub>4</sub> (M = 76,74) in the dyad region // J Quant Spectroec Radiat Transfer. -2014. Vol. 144. P. 11-26.
- 2. Ulenikov O.N., Gromova O.V., Bekhtereva E.S., Raspopova N.I., Kashirina N.V., Fomchenko A.L., Sydow C., Bauerecker S. High resolution study of  ${}^{M}$ SiH4 (M=28, 29, 30) in the dyad region: Analysis of line positions, intensities and half—widths // Journal of Quantitative Spectroscopy and Radiative Transfer. 2017. Vol. 203. P. 496–510.
- 3. Albert S., Keppler Albert K., Quack M. High–resolution Fourier transform infrared spectroscopy. // Handbook of high resolution spectroscopy. John Wiley & Sons. 2011. P. 965–1020.
- 4. Maki A.G., Wells J.S. Wavenumber calibration tables from heterodyne frequency measurements // National Institute of Standards and Technology. 1991. 668 p.
- 5. Gordon I.E., Rothman L.S., Hargreaves R.J., R. Hashemi et al. The HITRAN2020 Molecular Spectroscopic Database // Journal of Quantitative Spectroscopy and Radiative Transfer. 2022. Vol. 277 (11). P. 107949.